

1/19

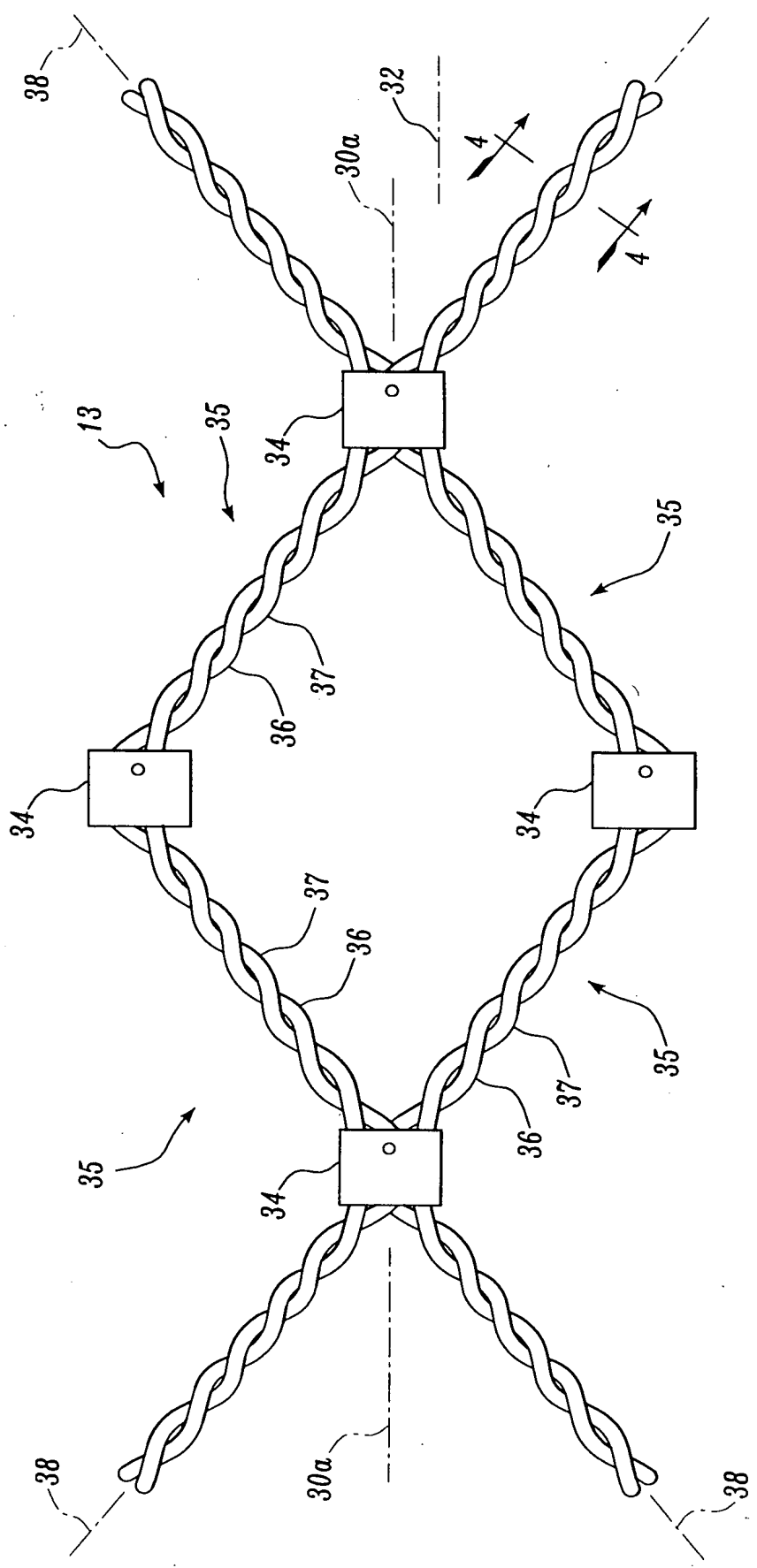


Fig. 9.

3/19

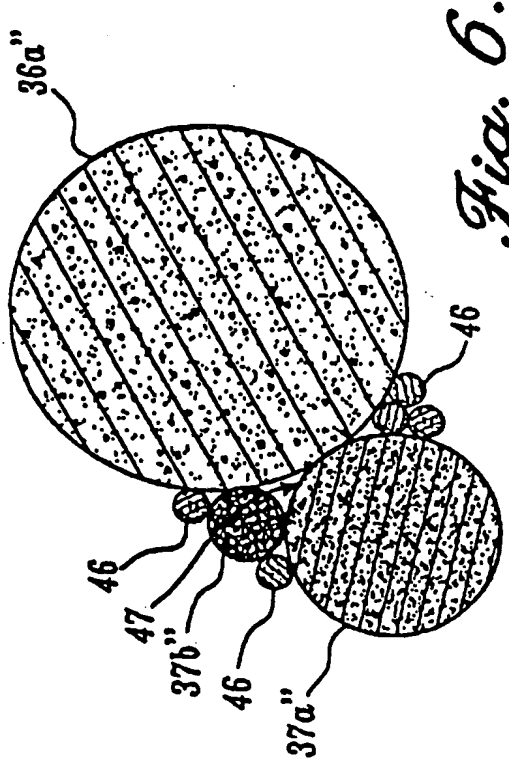


Fig. 6.

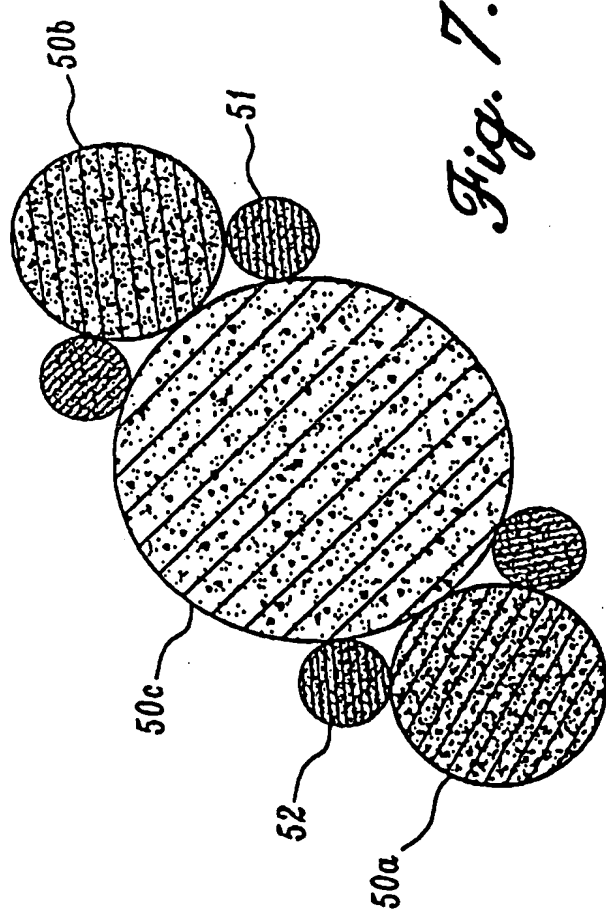


Fig. 7.

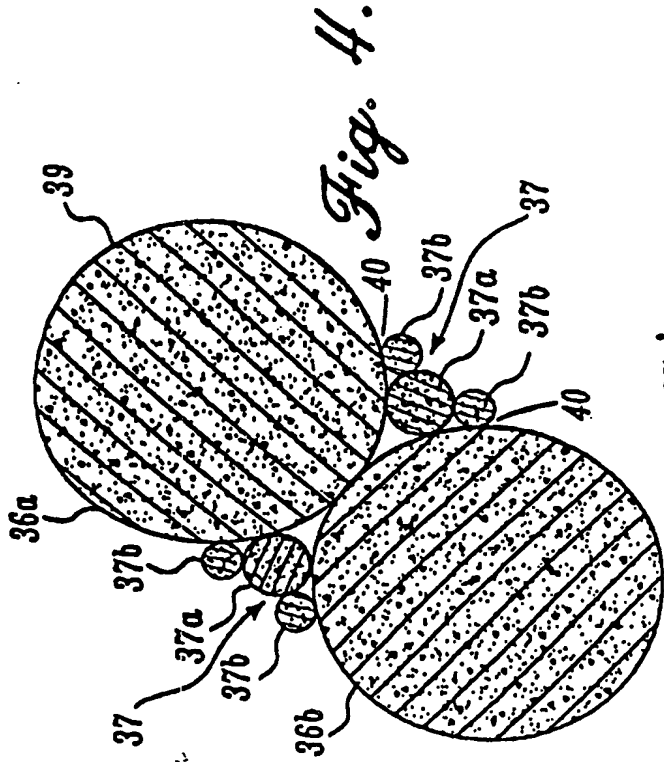


Fig. 4.

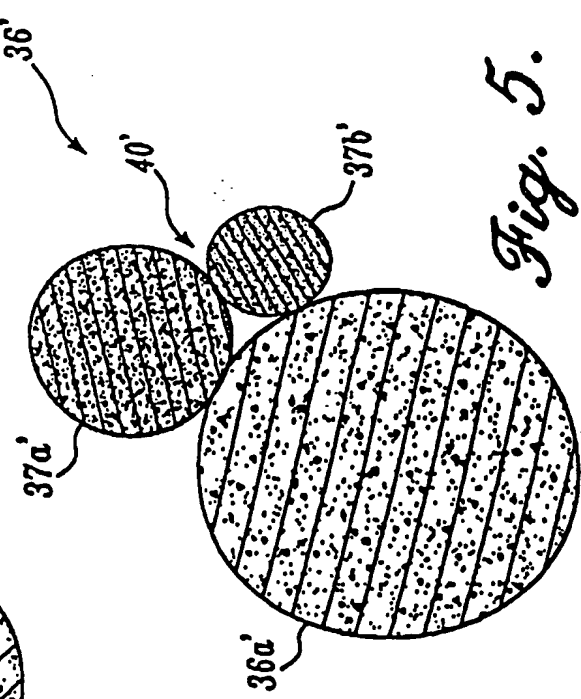


Fig. 5.

4/19

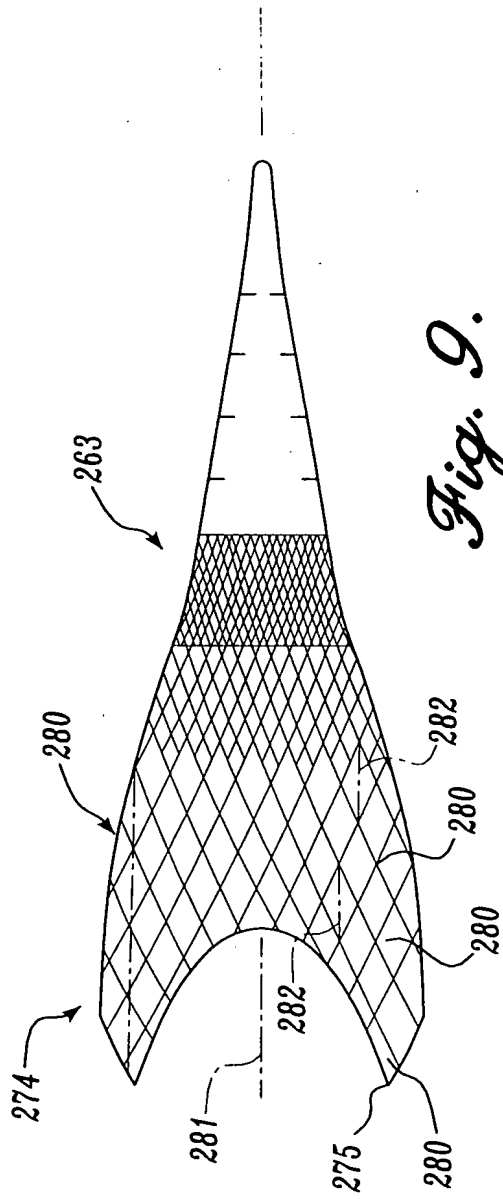


Fig. 9.

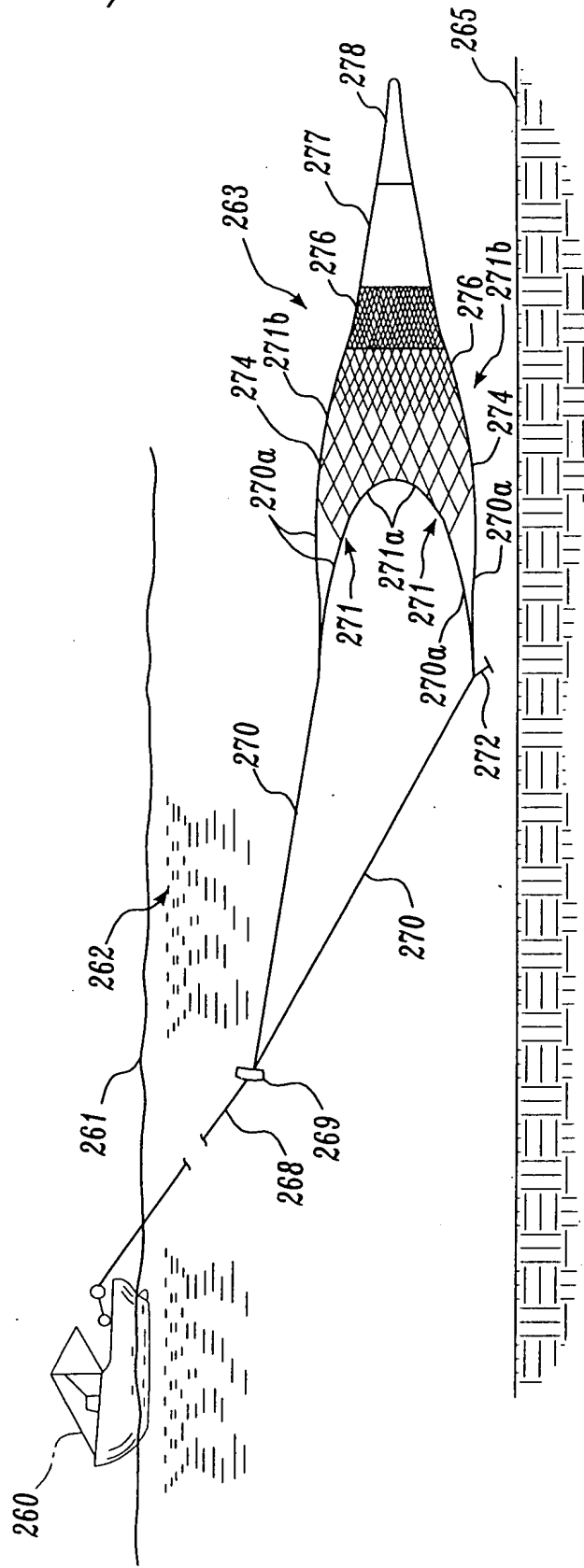


Fig. 8.

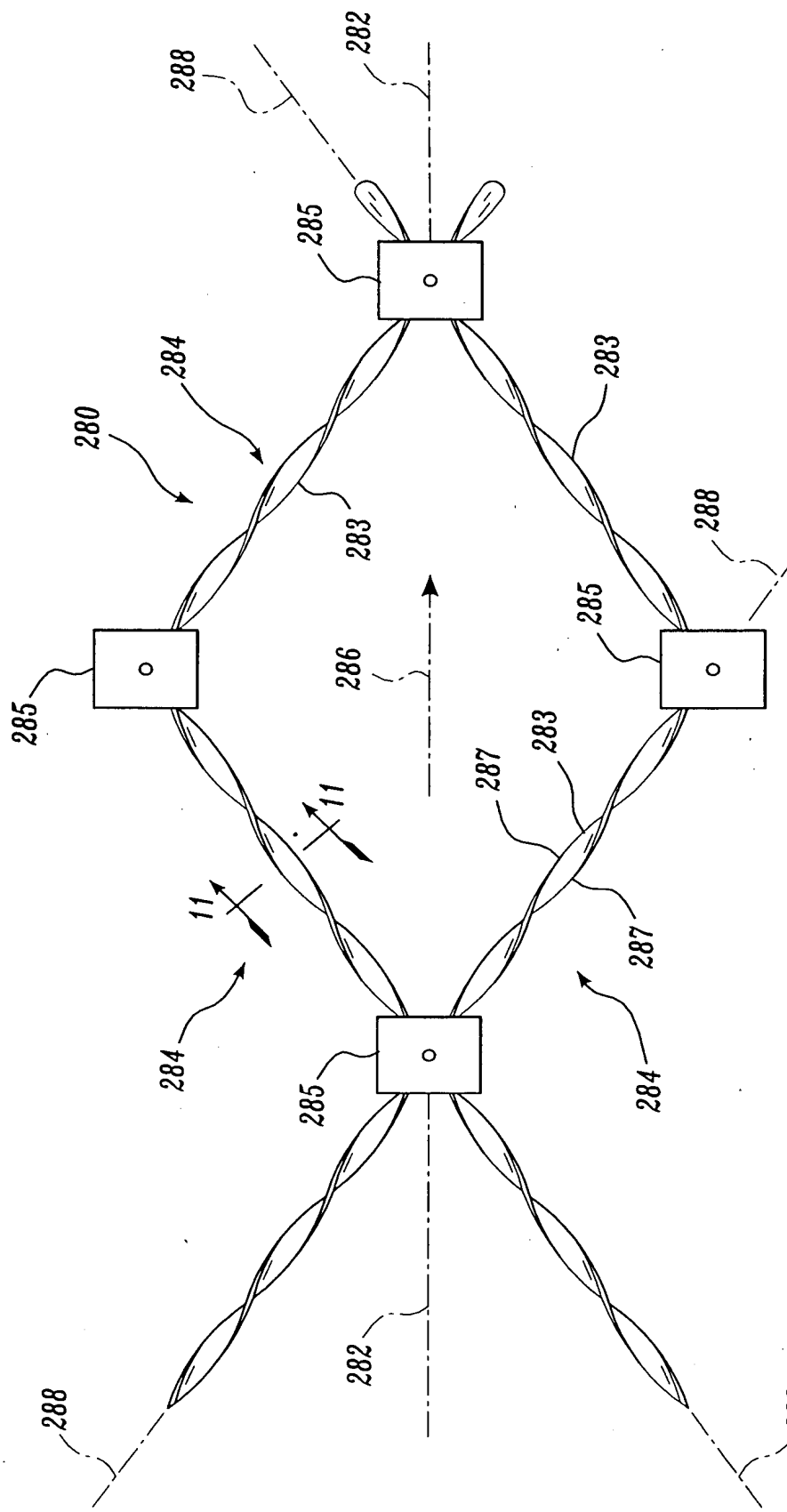


Fig. 10.

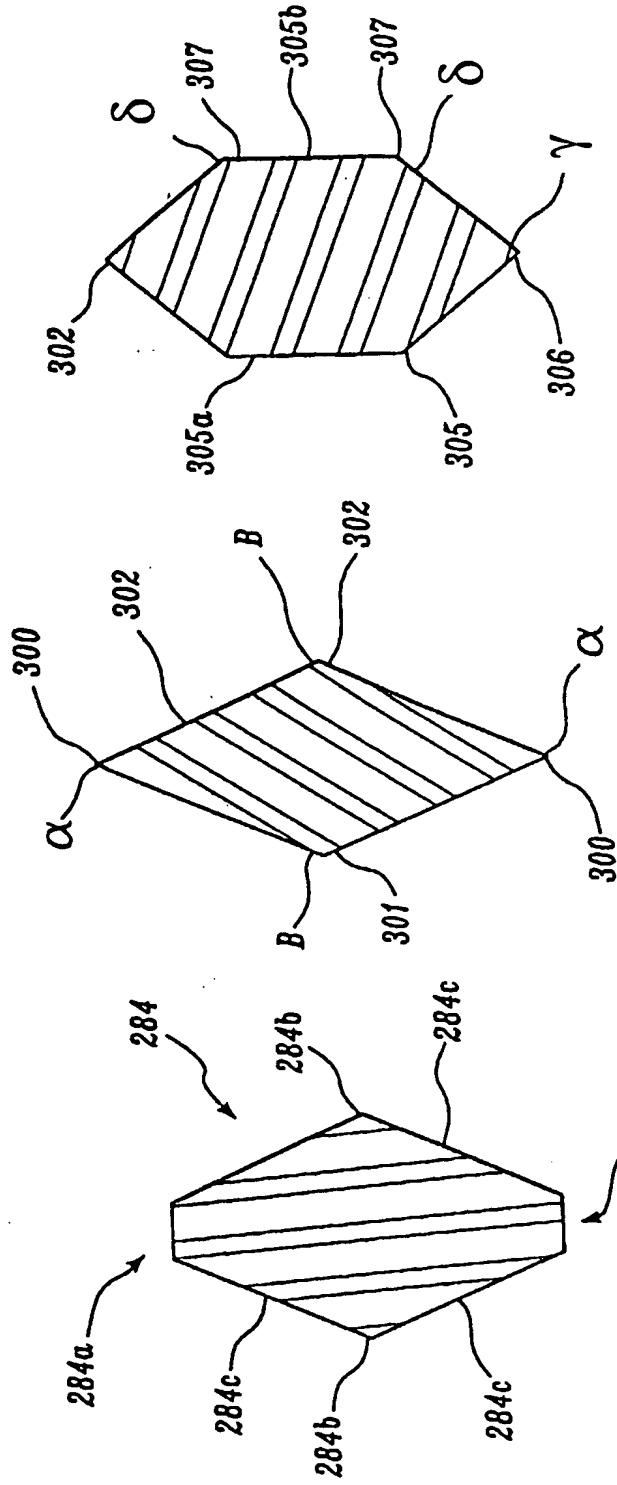


Fig. 11.

Fig. 12.

Fig. 1 g.

6/19

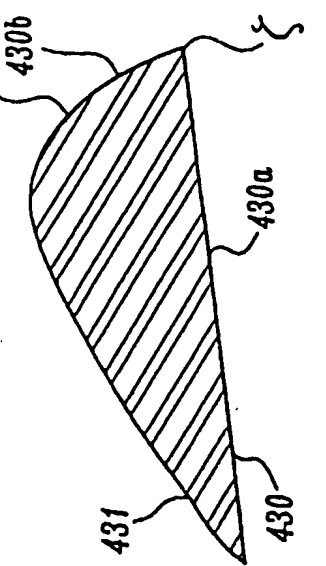


Fig. 19

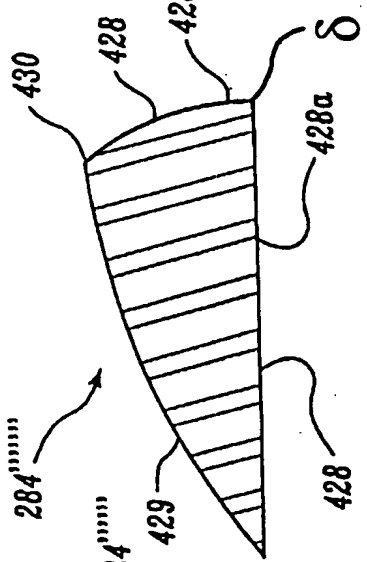


Fig. 18.

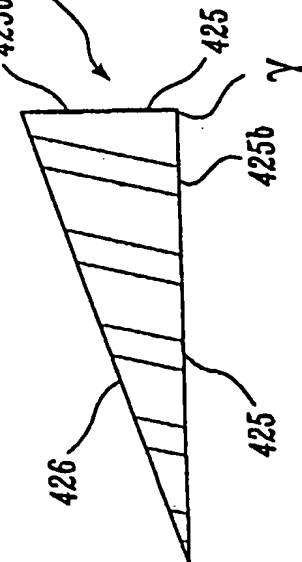


Fig. 17.

7/19

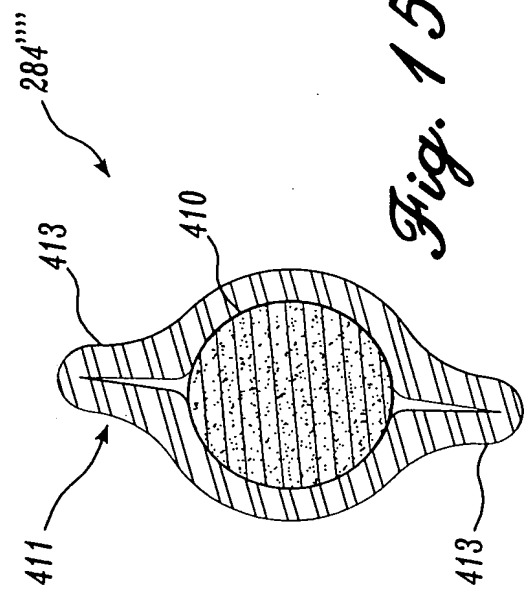


Fig. 15.

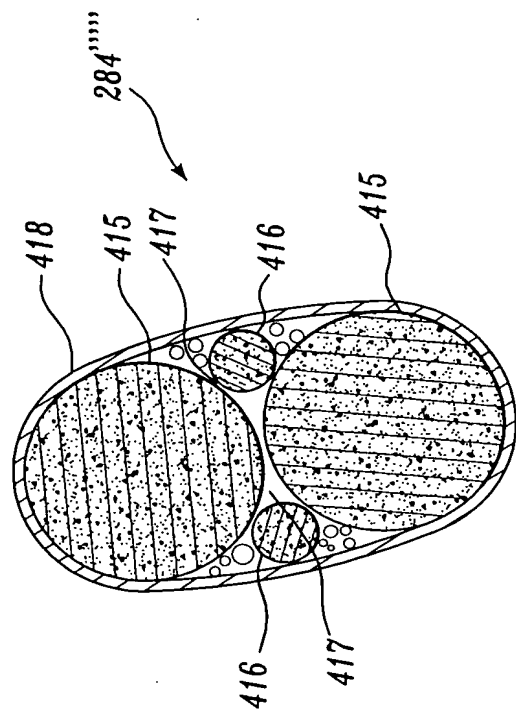


Fig. 16.

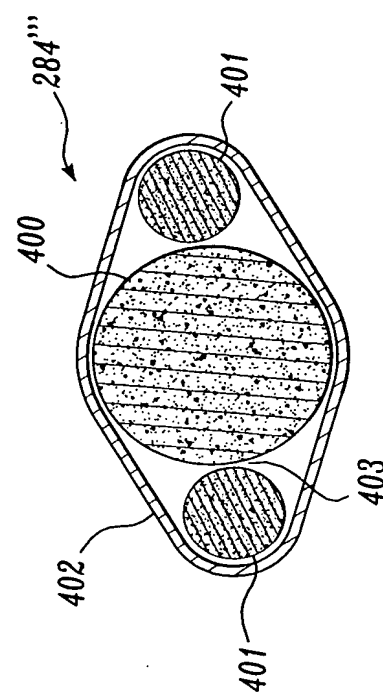


Fig. 14.

8/19

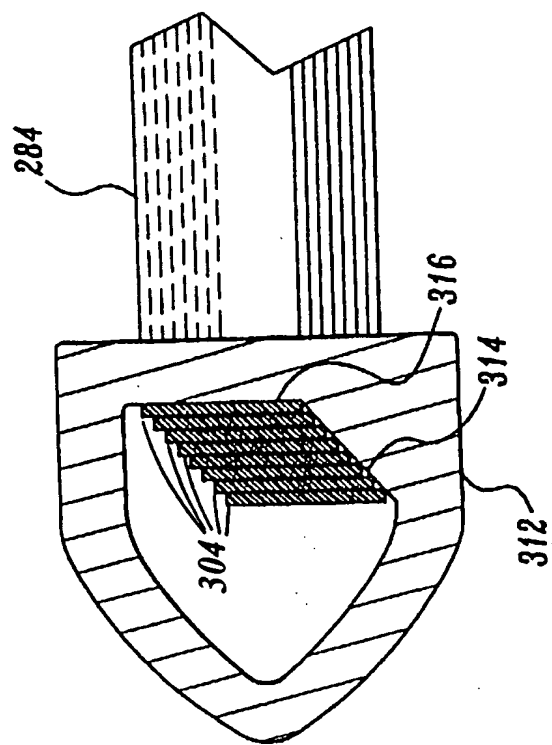


Fig. 20.

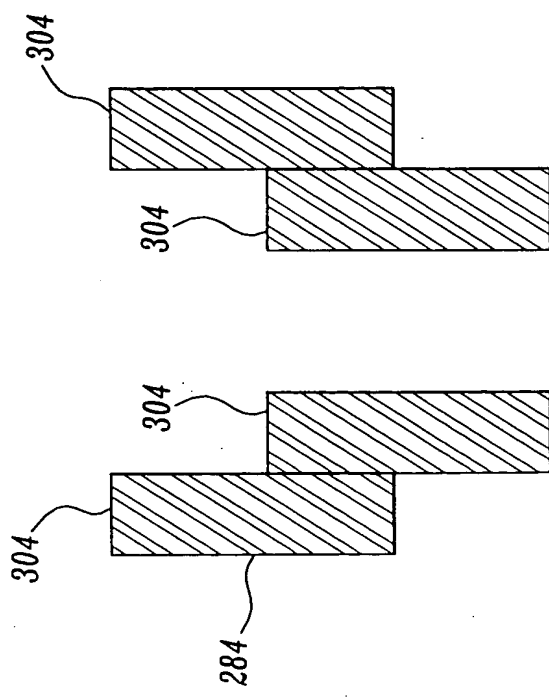


Fig. 2 O.A.

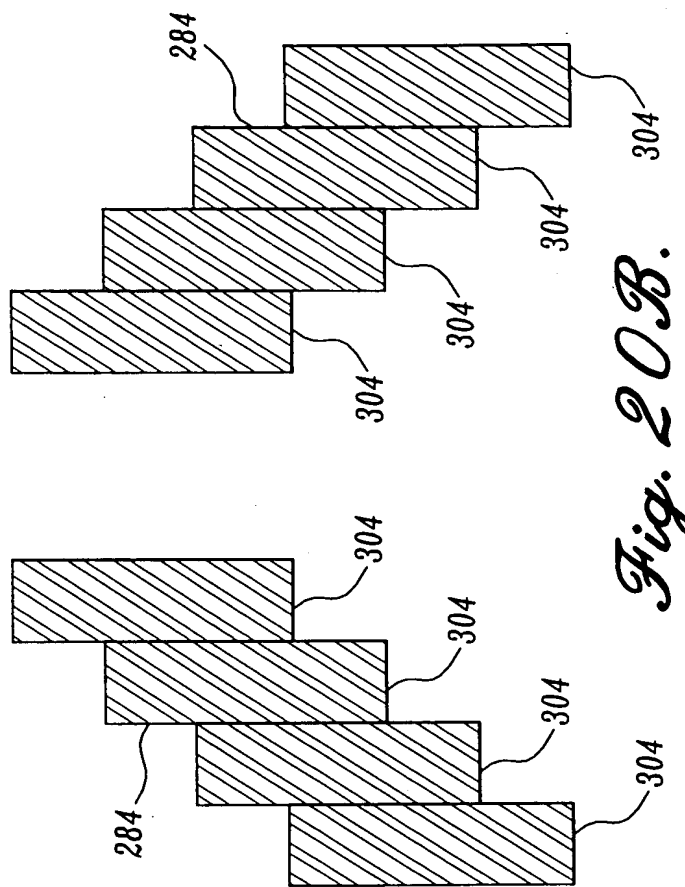


Fig. 2 O.B.

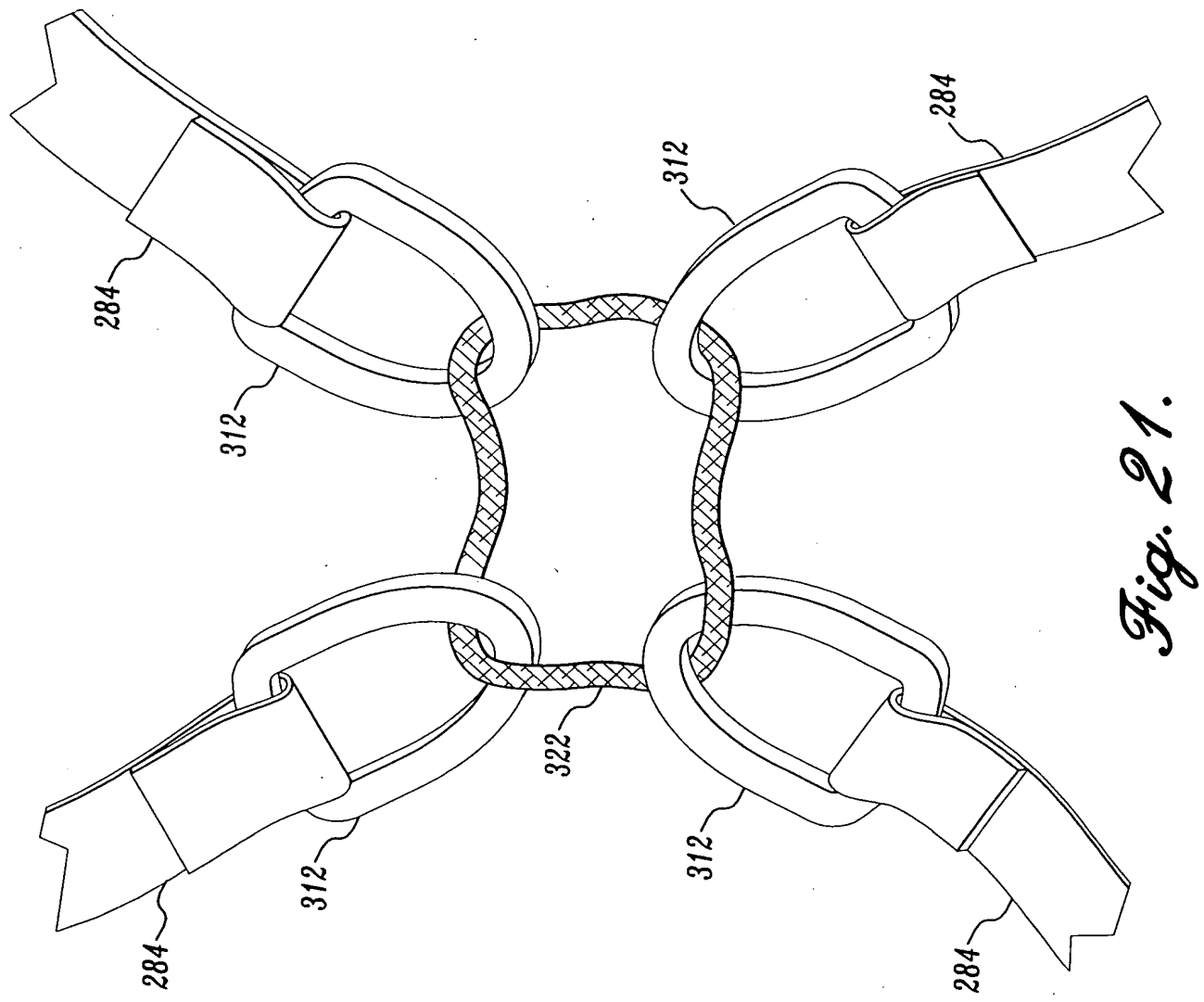


Fig. 21.

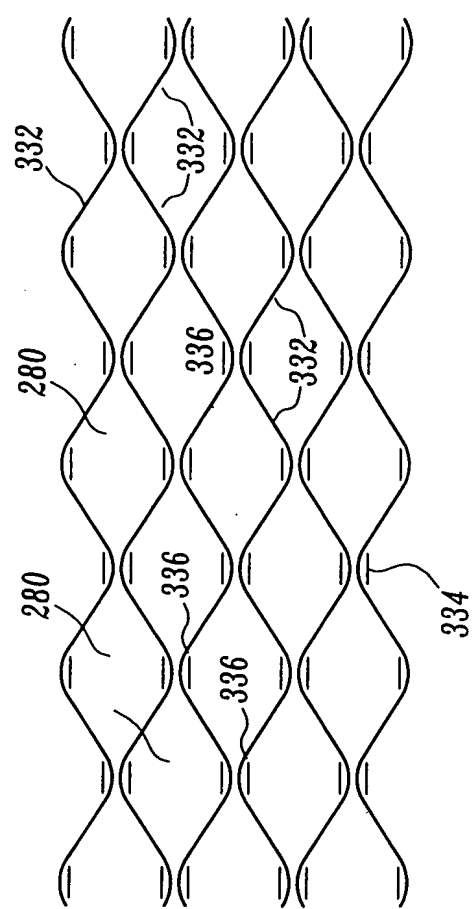


Fig. 22.

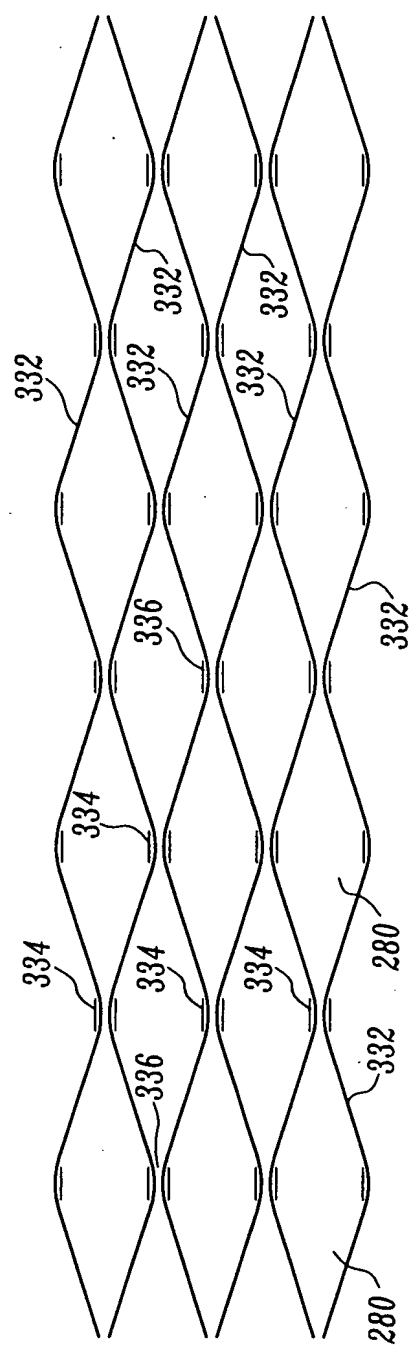


Fig. 29.

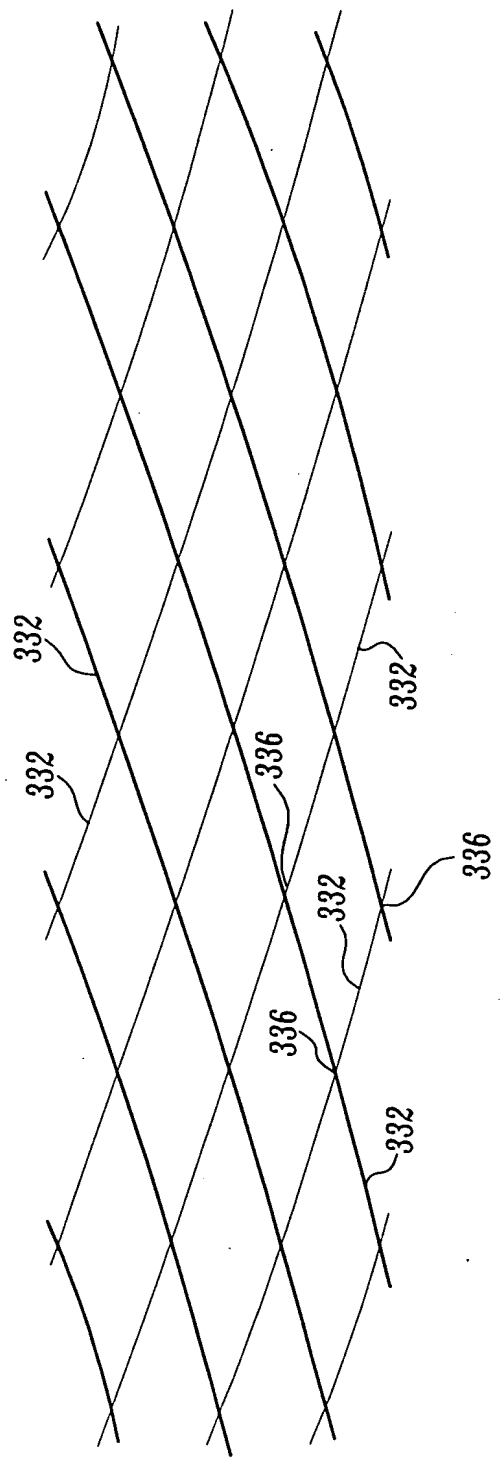


Fig. 25.

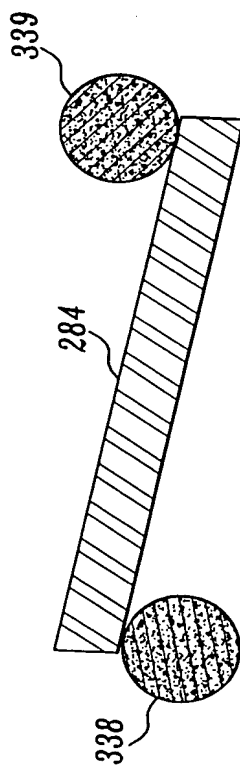


Fig. 29D.

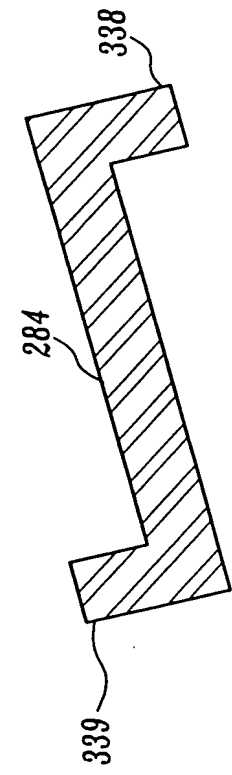


Fig. 29B.

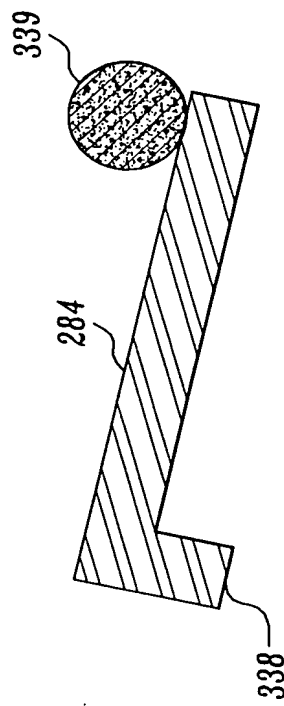


Fig. 29C.

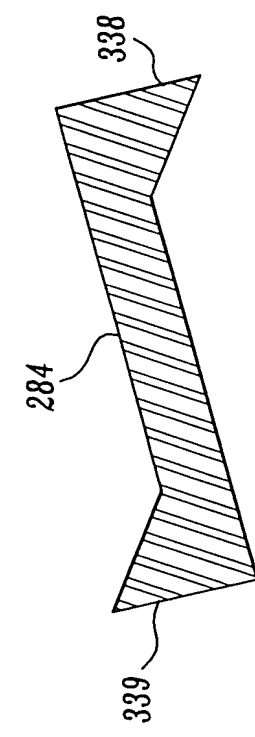


Fig. 29E.

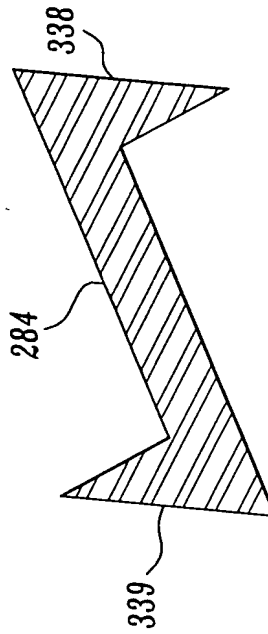


Fig. 29F.

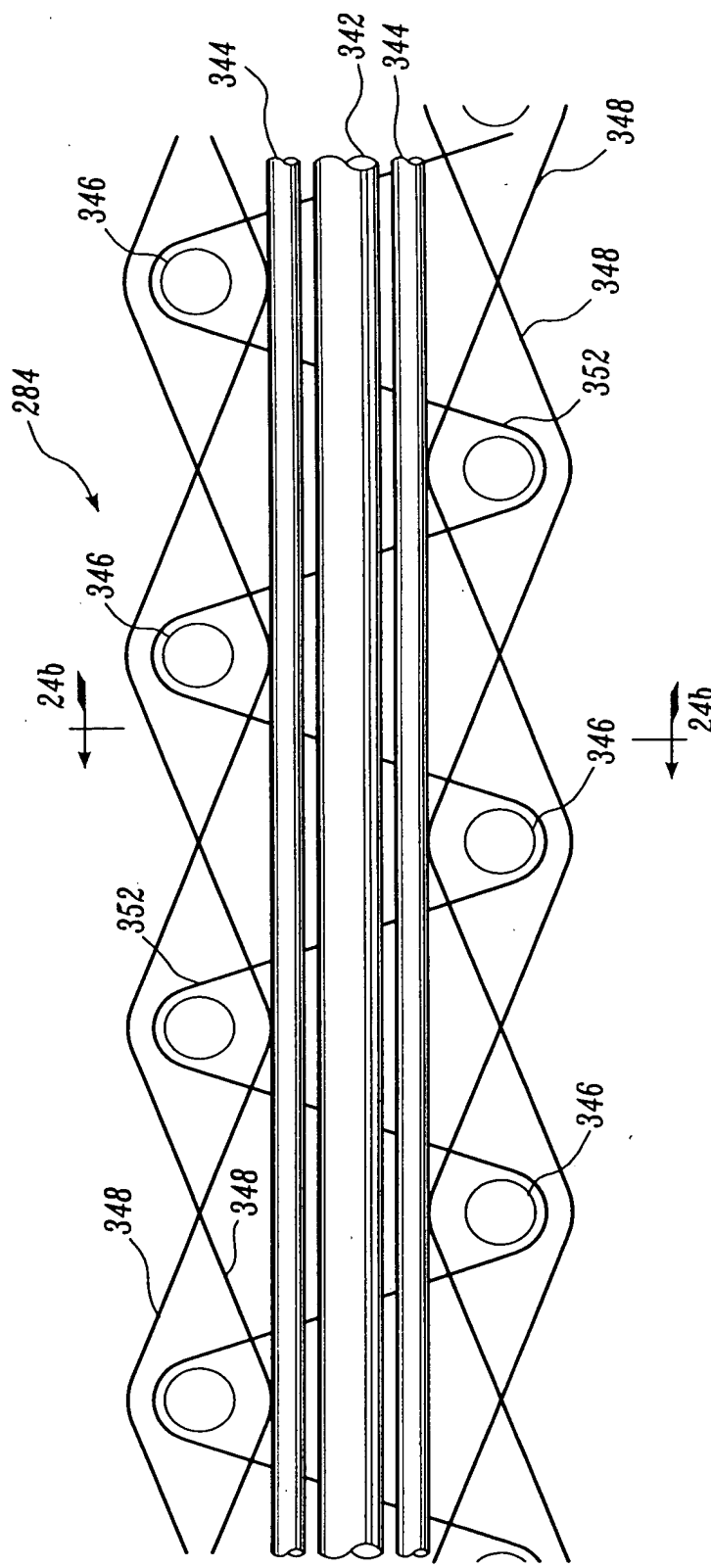


Fig. 24A.

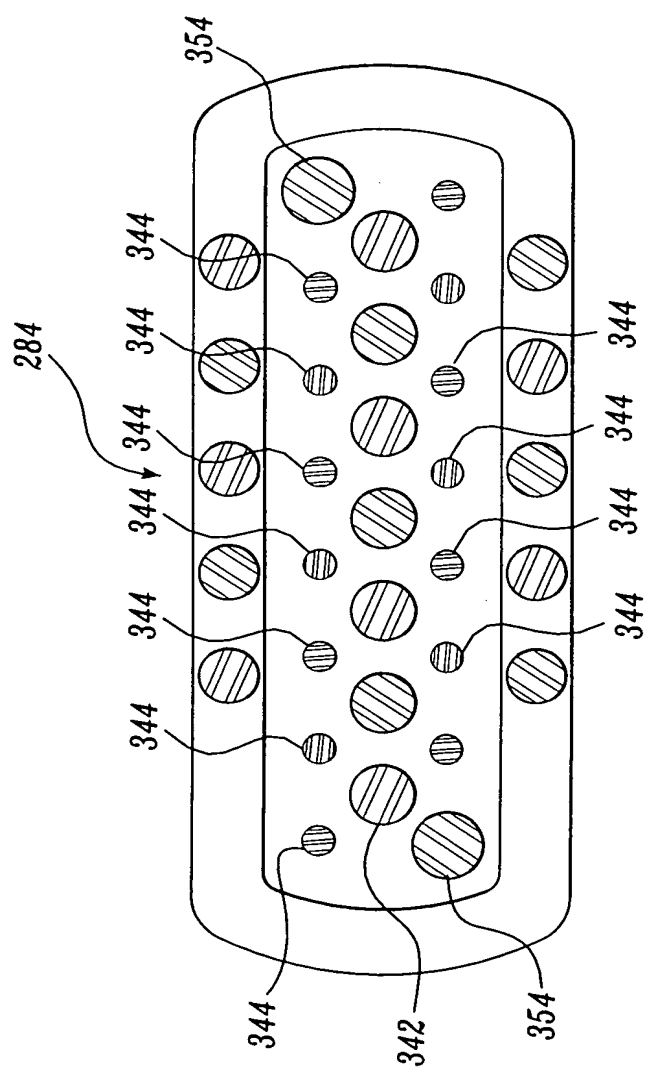


Fig. 24B.

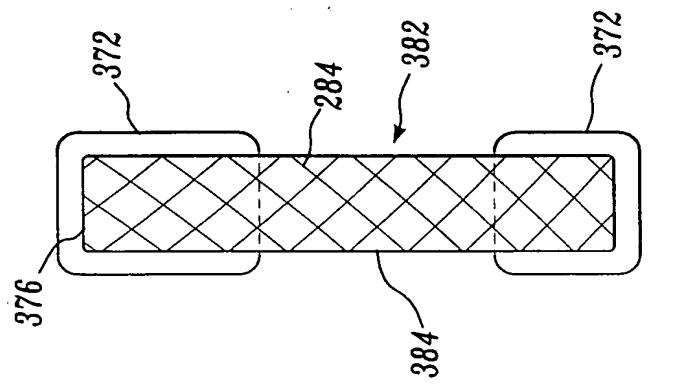


Fig. 26.B.

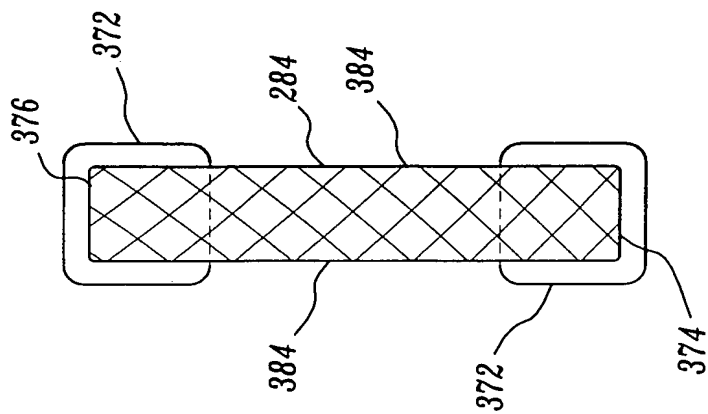


Fig. 26.A.

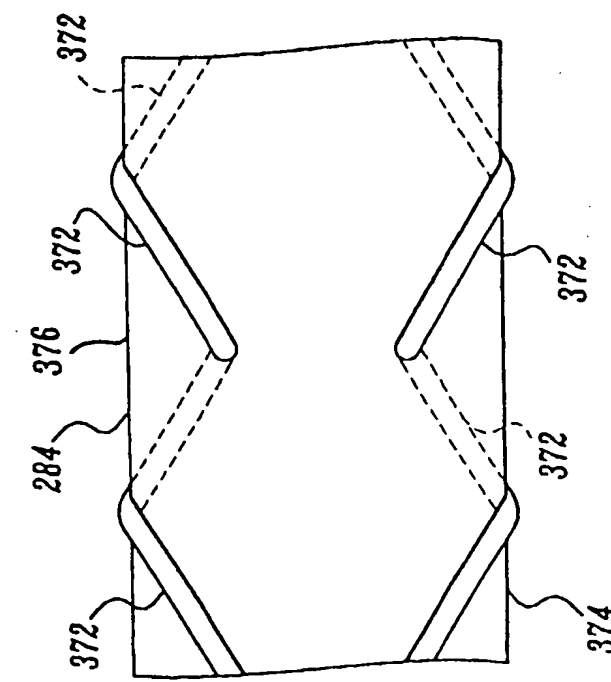


Fig. 27A.

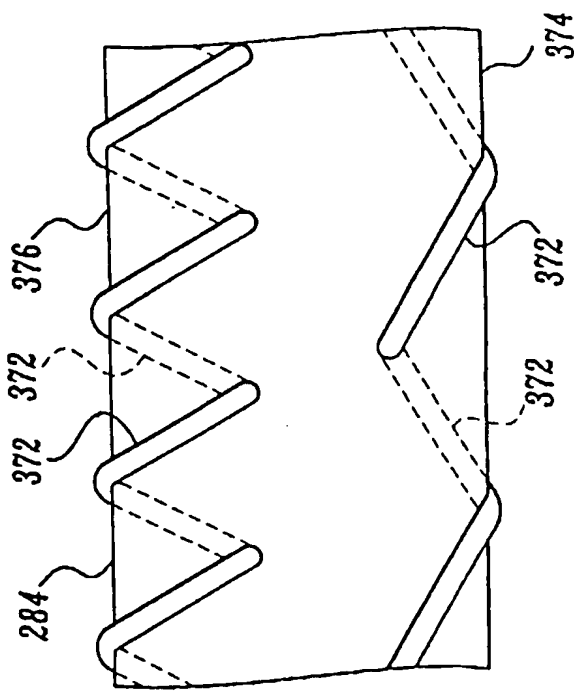


Fig. 27B.

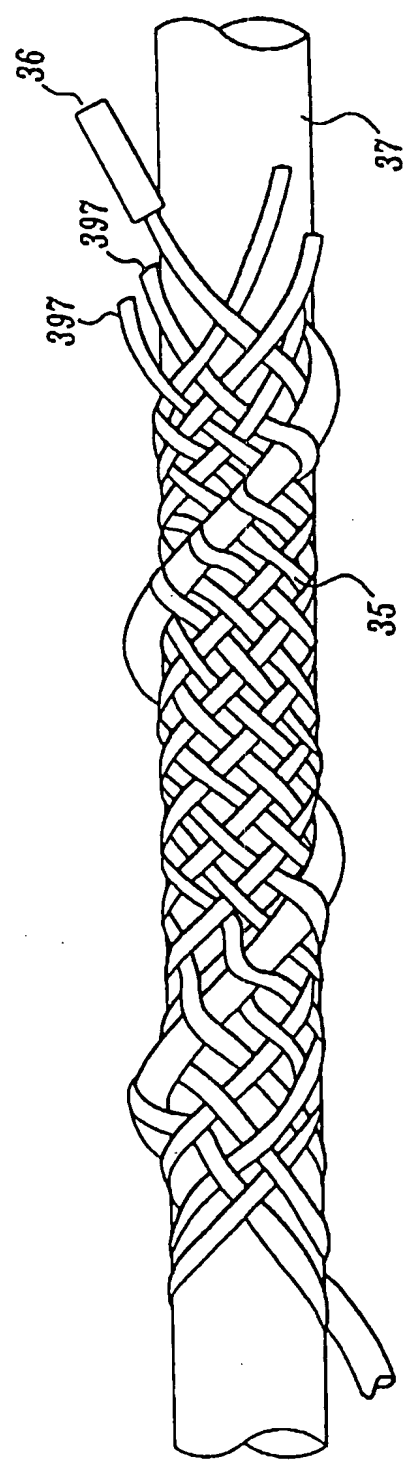


Fig. 29.

